

ЭФФЕКТ ШТЕРНА ПО АТРИСНОЙ ФИЗИКЕ

АННОТАЦИЯ

Из опыта Штерна-Герлаха авторы сделали правильный вывод, что проекция магнитного момента атома μ_z на направление поля H принимает только два отличающиеся знаком значения $\pm \mu_0$, т.е. магнитный момент атома величиной μ_0 ориентируется только вдоль H и в противоположном направлении. Обусловлен эффект тем, что одна половина атомов таблицы элементов трансформирует гравитоны, у которых всего лишь одни электрические вектора атрисов квантонов магнитных серий направлены вдоль радиусов к полюсам ядер, а у второй— диаметрально противоположную сторону. Амплитуда пульсаций электрических векторов квантонов не превышает 10^{-65} м!!! Это нужно увидеть!!!

СОДЕРЖАНИЕ

Введение

1. Атрисная интерпретация эффекта Штерна-Герлаха

2. Силовая связь между трансформируемыми магнитными сериями и сторонними магнитными пострино

3. Ферромагнетики

4. Процессы в ферромагнетике

5. Действие стороннего магнитного поля на магнитный дипольный момент атома

Выводы

Литература

Термины

ВВЕДЕНИЕ

Опыт Штерна-Герлаха экспериментально подтвердил, что атомы обладают магнитным моментом, проекция которого на направление внешнего магнитного поля принимает лишь определенные значения (пространственно квантована). Осуществлен в 1922 году О. Штерном и немецким физиком В. Герлахом, которые исследовали прохождение пучка атомов Ag (а затем и других элементов) в сильно неоднородном магнитном поле (рис. 1).

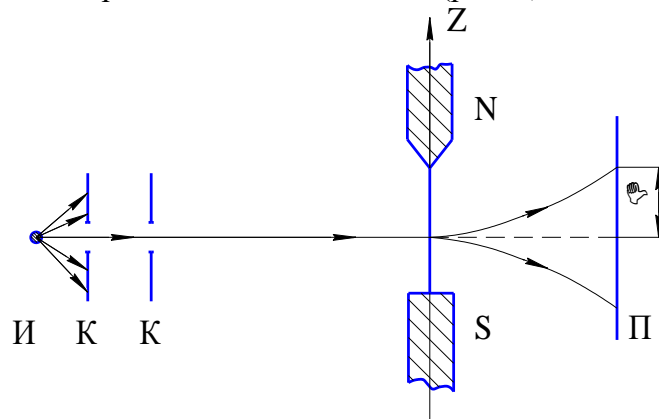


Рис. 1. Расщепление пучка атомов Ag в неоднородном магнитном поле:

И – источник атомов; К – щели, формирующие узкий пучок; N, S – полюса магнита, создающего постоянное неоднородное поле; П – пластинка, на которую оседают атомы;

Δ- величина отклонения пучка от первоначального направления. Опыт проводится в вакууме.

На атом, обладающий магнитным моментом μ_0 и движущийся в неоднородном вдоль оси Z магнитном поле H , действует сила, которая отклоняет его от первоначального направления движения. Если проекция магнитного момента μ_z атома могла бы изменяться непрерывно, то на пластинке П (рис.1) наблюдалась бы размытая широкая полоса. Однако в опыте Штерна-Герлаха было обнаружено расщепление пучка атомов на две компоненты, симметрично смещенные на величину Δ относительно первичного направления распространения (на пластинке появлялись две

узкие полосы). Это указывало на то, что проекция магнитного момента атома μ_z на направление поля H принимает только два отличающиеся знаком значения $\pm \mu_o$, т.е. магнитный момент атома величиной μ_o ориентируется только вдоль H и в противоположном направлении.

Для других атомов опыт давал подобный результат: пучок расщеплялся на конечное число узких полос, причем получалось, что проекции момента атома в каждом пучке равны целому числу магнетонов Бора.

Атрисная физика дает возможность показать природу сил, возникающих между гравитонами, трансформируемыми атомами, и сторонними магнитными постройками. Суть заключается в том, что у первой половины атомов электрические вектора квантонов магнитных серий будущих гравитонов направлены от полюса ядра, а во второй – к полюсу ядра. Поэтому действия сил на первую и вторую половины атомов будут направлены в противоположные стороны.

Для иллюстрации эффекта необходимы сведения о структуре ядер атомов, о взаимодействии магнитных сил и о структуре магнитных полей, синтезируемых ферромагнитом.

1. АТРИСНАЯ ИНТЕРПРЕТАЦИЯ ЭФФЕКТА ШТЕРНА-ГЕРЛАХА

Путем креативного мышления получены открытия основ Атрисной физики, что дало возможность зримо увидеть структуру, состав, внутренние ритмы колебаний энергии в ядрах атомов и процессов синтеза всех видов полей.

Инструментальные методы исследований, разработанные учеными, не имеют разрешающей способности, чтобы манипулировать размерами частичек до 10^{-100} м и промежутками времени до 10^{-100} с. Поэтому все попытки ученых, определить структуру и состав ядер атомов инструментальными методами, принципиально невозможны. Каждый атом таблицы элементов создан по фрактальному принципу и состоит из трех ярусов, каждый из которых имеет собственную структуру и физические свойства, разные размеры и выполняют строго заданные им функции.

Первый ярус - ядро атома (рис. 2, а и б). Каждое ядро атома Вселенной имеет реперный протон, который сохраняет свою индивидуальность до радиоактивного распада. Радиус яритиса и филбайтинга реперного протона имеют одинаковые радиусы, которые равны $r \approx 1,22 \cdot 10^{-12}$ м, а наружные, изменяются в зависимости от температуры (избыточной энергии) атринов.

В ядре сосредоточены нуклоны, представляющие собой пакет дисков, стянутых филбайтингом.

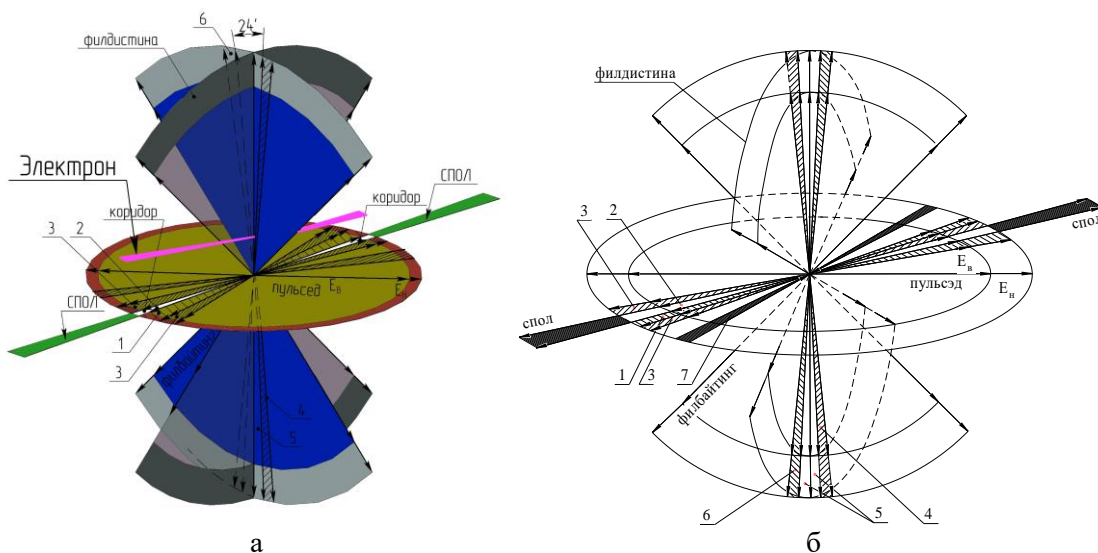


Рис. 2. Общий вид ядра атома водорода:

- 1 и 2 - секры электрона и спола в пульсэде; 3 – секры спана в пульсэде; 4 – квадрон спана с внутренними атринами; 5 – секры электрона и спола в филбайтинге; 6 – квадрон спана с наружными атринами; 7 – электрон; E_v – внутренние серии; E_n – наружные серии.

Каждый электрон состоит из двух блоков: физической основы и ее системы привода, системы управления и системы ее привода, которая одновременно является памятью электрона. Нуклоны ядер атомов и электроны имеют системы мышления, которые синтезируют из атрисов эфира

голограммы и осуществляют управление всеми структурами ядра и атома в целом. Электроны в ядре атома осуществляют энергоинформационный обмен.

Второй ярус – жесткая стационарная однослойная структура, которая выходит из системы управления ядром – наружных вистр яритиса, а также филбайтинга, определяет геометрические параметры атомов всех тел и не обнаруживается при инструментальных измерениях. Радиус второго яруса равен $l \cdot 10^{-10}$ м (где $l \approx 0,4 \div 2$), и он определяет расстояния между атомами в молекулах и кристаллах, осуществляя силовую связь между атомами (рис. 3).

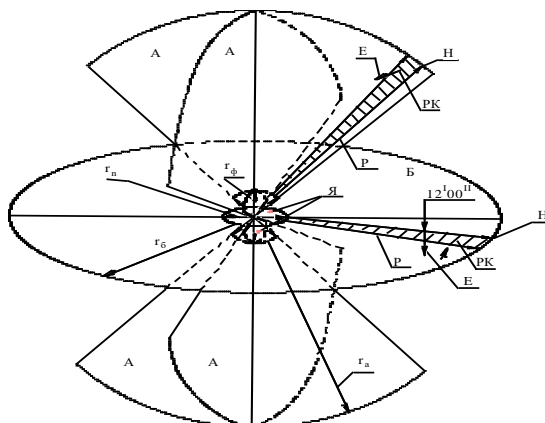


Рис. 3. Два яруса атома водорода:

Я – ядро атома; А, Б – стационарная защитная оболочка, состоящая из билтона – Б и андистонов – А; r_n – радиус пульсэда; $r_ф$ – радиус филбайтинга; $r_б$ – размер серий рейкиса билтона; $r_а$ – размер серий рейкиса андистона; Р – рейкис; РК – ряды квантонов.

Третий ярус – защитная, сменная поверхность, размер которой в отсутствии силовых нагрузок на атомы, равен $2l \cdot 10^{-10}$ м. Третий ярус синтезируется за время порядка 10^{-41} с, и сменяется по истечению времени порядка 10^{-20} с (рис. 4).

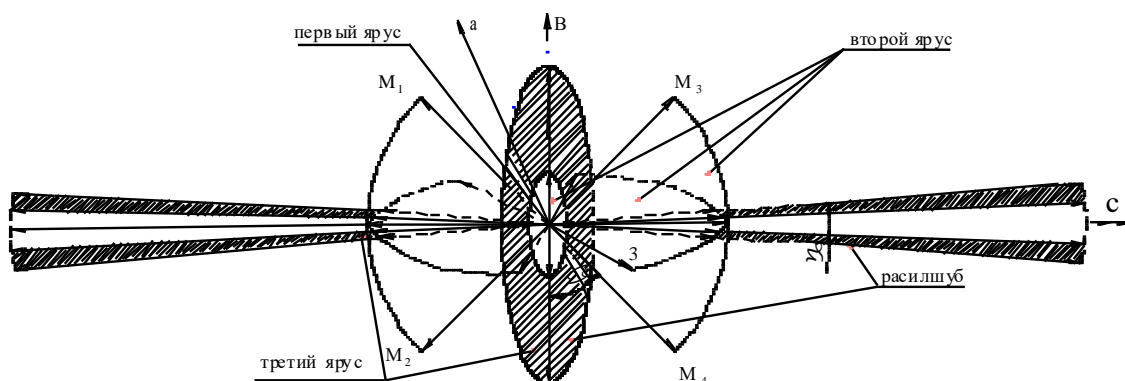


Рис. 4. Атом водорода (схематическое изображение): M_1 - M_4 – уголки андистонов.

Третий ярус определяет все физико-химические и механические свойства материального мира. У третьего яруса имеется внутренняя и наружная поверхности, которые выполняют противоположные действия (минус и плюс). Третий ярус может создаваться по границам раздела фаз и в зонах силовой связи между атомами в молекулах и кристаллах. Поэтому дальнейшие исследования будут посвящены установлению связей между состоянием ядра и свойствами материи.

В момент радиоактивного распада нейтрона синтезируется ядро атома, представляющее собой жесткую сложную фигуру, которая сохраняется до момента радиоактивного распада ядра.

Пульсэд, яритис, филбайтнг, филбайтина спан, билтон представляются в единую систему, которая сохраняется во всех ядрах атомов. У атома водорода имеется один реперный протон, У каждого последующего ядра системы элементов также имеется только один реперный протон. Все остальные нуклоны ядра атома располагаются параллельно яритису реперного протона, имеют один общий полюс, но независимо от реперного протона совершают циклические колебания атринов и вращаются, создавая спин, равный 0,5.

Только реперные протоны всех ядер атомов устанавливают силовую связь уголками андистонов и андистронов со смежными ядрами атомов и не могут совершать вращения (создавать спин). То есть, структура всех твердых тел и молекул является жесткой, так как реперные протоны этих ядер не могут вращаться, создавая спин.

Реперный протон поворачивается на амплитуду пульсаций векторов атрисов квантонов в один полупериод и возвращается в прежнее положение в результате действия вращательного момента, созданного силой, возникающей в результате действия силовой связи между уголками андистронов смежных атомов. Таким образом, у реперных протонов твердых тел и жидкостей спин существует и не существует одновременно, так как вращение под его действием не происходит.

У каждого атома есть жесткая не изменяющаяся структура, возникшая в результате радиоактивного распада нейтрона, которая состоит из яритисов, филбайтингов и филбайтин, которые остаются даже после радиоактивного распада физической основы ядра.

Единственным ресурсом Вселенной являются атрисы эфира. Управление атомом осуществляет ядро, которое состоит из нуклонов, собранных в пакет и стянутых спаном (рис. 5).

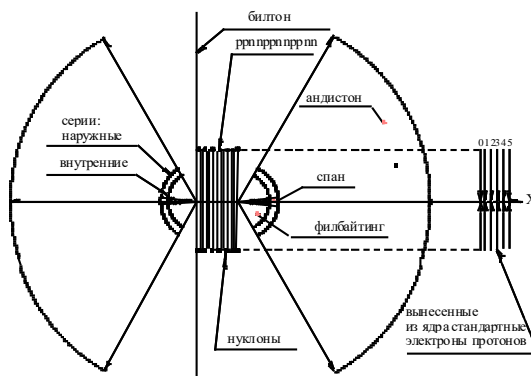


Рис. 5. Сечение многонуклонного атома без расилшуба (углерод).

В каждом нуклоне совершаются независимые от других нуклонов циклические колебания атринов, синтез гравитонов, создание спина и магнитного дипольного момента. Электроны сканируют поверхности пульсэдов протонов, освобождая атрины пульсэдов от избыточной энергии, а также выполняют другие функции по защите ядер атомов. На рисунке 1, б приведен электрон, сканирующий поверхность яритиса атома. Останавливается электрон только после каждого полупериода циклических колебаний атринов. Вследствие того, что при рекомбинации электрона ядром протона сбрасывается часть энергии связи или энергии ионизации, поворот биртрона электрона за полупериод всегда меньше 180 градусов. Поэтому электрон, сканируя поверхность яритиса, может снимать энергию со всех вистр андистонов и андистронов, однако сбрасывать в твердом теле может только в полюсе ядра атома, когда ось биртрона совпадает с осью атринов спона. Энергия вдоль серий всех элементарных объединений – атринов, вистр, рейкисов, витр и расилов – квантуется.

Отрезок серий атрина, энергия которого равна кванту действия, создает уплотнение, которое устанавливает силовую связь посредством атроусов, с аналогичным отрезком. Если бы мы представили атрин, то увидели бы, что вдоль серий энергия квантов действия распределена по закону синусоидальной четной функции.

Ядра атомов собраны из чередующихся в пакете нейтронов и протонов в виде отдельных дисков – пульсэдов (рис. б) и стянуты филбайтингом.

В каждом нуклоне совершаются независимые от других, но согласованные циклические колебания атринов, синтез гравитонов, создание спина и магнитного момента. Электроны сканируют поверхности протонов, освобождая атрины пульсэдов от избыточной энергии. Новый период циклических колебаний атринов всех нуклонов ядра атома начинается одновременно. Поэтому атрины нуклонов, завершившие период циклических колебаний раньше других, совершают холостые пульсации без циклических перемещений.

Серии рейкисов билтона и андистонов являются продолжением наружных серий вистр яритиса и филбайтинга и не имеют системы привода, т.е. они создают один слой каждый.

Длина первичных серий рейкисов определяется энергией спиновых серий, а у андистонов – энергией отрезков наружных серий атринов спана, выходящих за пределы внутренних.

Вдоль серий вистр по программам создаются уплотнения из вектора квантонов – векторов адрат, при помощи которых осуществляется процессы управления векторами квантов действия атринов. Вектора адрат определяют изменения структуры физических свойств атомов, а также всех соединений из атомов. У фотонов частицы витры устанавливают вдоль серий такое количество векторов адрат, сколько имеется квантов действия у фотона. Размер амплитуды пульсаций векторов квантонов атринов в сериях частиц устанавливают вектора адрат системы управления.

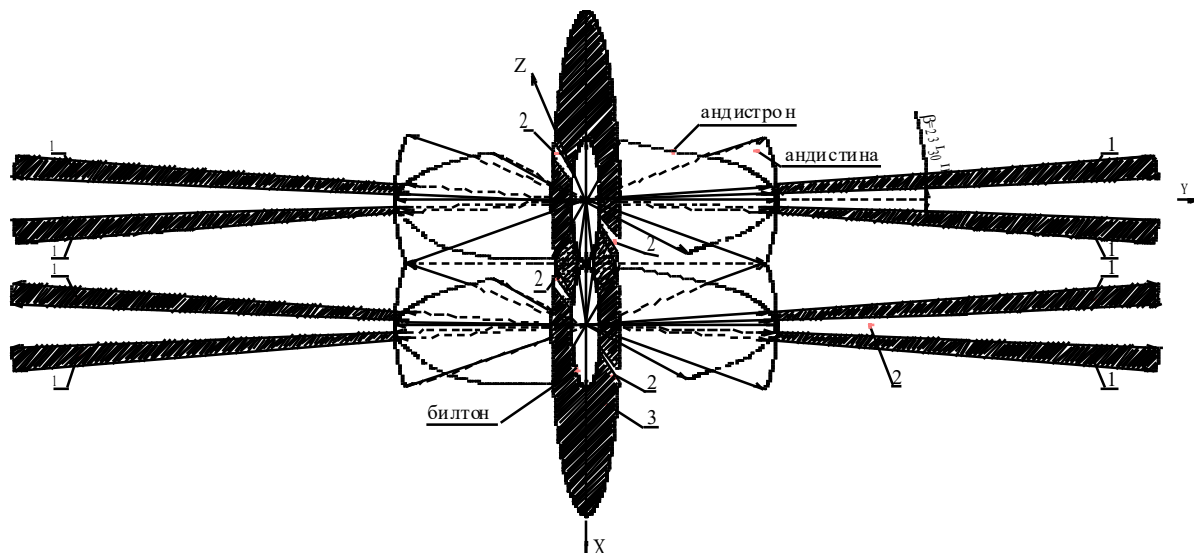


Рис. 6. Линейная двухатомная молекула:
1– расилшубы андистронов, 2– секры билтонов, 3– расилшубы билтонов.

Как показала Атрисная физика, атомы ориентируются в пространстве относительно друг друга при помощи расиловых волн, которые могут их притягивать или отталкивать. Если атомы приближаются друг к другу на расстояние, на котором начинают действовать атроусы силовой связи, образуется молекула. В молекуле рейкисы билтонов и андистронов атомов создают единую пульсирующую систему. Препятствием к созданию молекул из атомов может служить излучение одним из ядер атомов расиловых волн, которые отталкивают от себя другое ядро атома.

Пусть энергетическое состояние атомов способствует созданию молекулы, и атомы движутся навстречу друг другу. Их билтоны располагаются в одной плоскости, а один из андистонов каждого атома – в другой. Радиусы у билтонов и андистонов одного и того же атома могут быть при этом разными по величине, что определяется величиной энергии спиновых серий атринов пульсэдов и спанов. Если $r_a \geq r_b$, то андистоны сжимаются:

$$\frac{r_a}{\sqrt{2}} > r_b,$$

где r_a и r_b – радиусы андистона и билтона.

В этом случае андистоны сжимаются в виде веера до установления прямого силового контакта между билтонами атомов молекулы, превращаясь в *андистины*, а вторая пара андистонов (расположенная перпендикулярно) оказывается неподверженной сжатию – это *андистроны* (рис. 6).

Если в момент синтеза молекулы атомы имели разную по величине избыточную энергию, то в молекуле сразу же идет сброс избыточной энергии или ее выравнивание. Так как частота пульсаций квантонов в сериях билтонов и андистонов всех атомов Вселенной остается величиной постоянной, то у атомов молекулы может происходить согласование только амплитуд колебаний квантонов билтонов и андистонов.

2. СИЛОВАЯ СВЯЗЬ МЕЖДУ ТРАНСФОРМИРУЕМЫМИ МАГНИТНЫМИ СЕРИЯМИ И СТОРОННИМИ МАГНИТНЫМИ ПОСТРИНО

Во время трансформации электрических серий в магнитные или при трансформации магнитных серий в электрические с ними могут вступить в мгновенную силовую связь со сторонними гравитонами, магнитными и электрическими цугами пострино. Кроме того, мгновенная силовая связь может устанавливаться между сменной поверхностью расилшубов и электрическими

сериями витры фотона, которые трансформируются из магнитных серий. Пусть магнитные серии частиц пострино H_e и H_n (рис. 7), трансформируемые из электрических, расположены в плоскости, перпендикулярной поверхности листа, а электрические вектора квантонов E_e и E_n перпендикулярны к плоскости серий.

У стороннего пострино магнитные и электрические вектора квантонов атрисов колеблются в противофазе, а у трансформируемого электроном пострино колеблются синхронно. Поэтому силовая связь между ними может возникнуть только в том случае, если будет иметься только одно несовпадение направлений векторов атрисов первых квантонов сблизившихся серий (рис. 7, а). Если совпадают или не совпадают направления обоих векторов атрисов квантонов, встречающихся серий свободного и трансформируемого пострино, то силовая связь между ними не возникает (рис. 7, б).

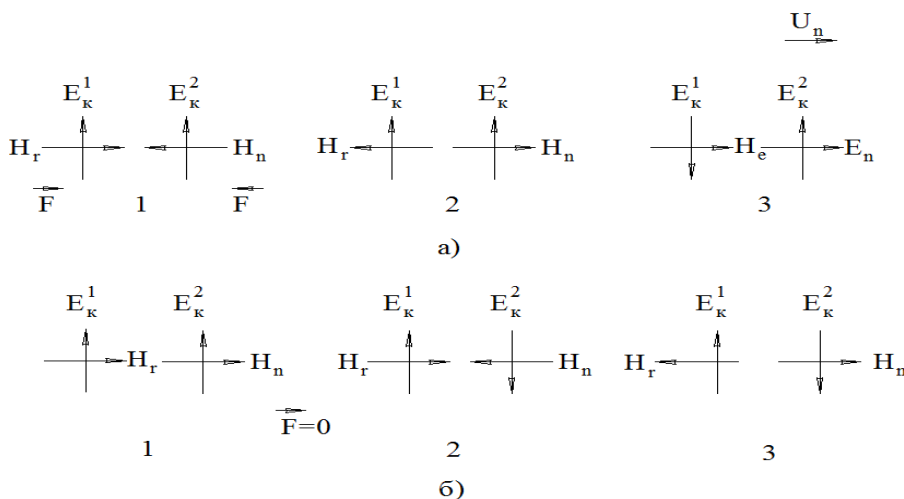


Рис. 7. Взаимное расположение серий частиц H_r и серий поля H_n , а также их векторы квантонов E_k^1 и E_k^2 в момент трансформации электрических серий в магнитные при возникновении силовой связи (а) и при отсутствии силовой связи (б).

3. ФЕРРОМАНЕТИКИ

Стандартная модель физики утверждает, что ферромагнетизм представляет собой совокупность магнитных свойств, характерных для группы веществ в твердом кристаллическом состоянии (ферромагнетиков) и обусловленных положительным межэлектронным обменным взаимодействием, приводящим к параллельной ориентации моментов атомных носителей магнетизма.

В ферромагнитных монокристаллах наблюдается резкая магнитная анизотропия (рис. 8). В поликристаллах с хаотичным расположением ориентации зерен, анизотропия в среднем по образцу отсутствует, но при неоднородном распределении ориентаций, она может наблюдаться.

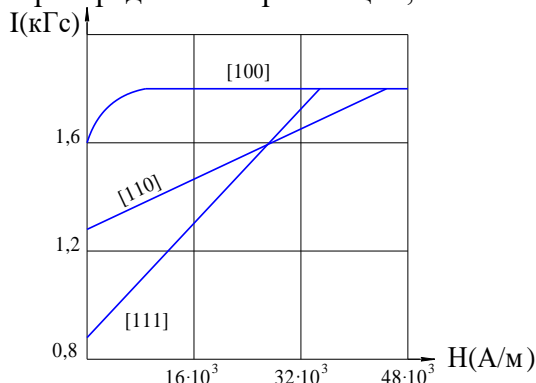


Рис. 8. Зависимость намагниченности J от магнитного поля H для трех главных кристаллических осей монокристалла (ОЦК, [100] – легчайшее намагничивание оси).

Магнитные и прочие физические свойства ферромагнетиков обладают специфической зависимостью от температуры. Насыщение намагниченности I_s имеет наибольшее значение при 0К и монотонно стремиться к нулю при температуре точки Кюри.

Открыть природу ферромагнетизма позволяет Атрисная физика, но для этого необходимо ознакомиться с ее основами.

В ферромагнитных монокристаллах наблюдается резкая магнитная анизотропия. В поликристаллах с хаотическим расположением ориентации зерен анизотропия в среднем по образцу отсутствует, но при неоднородном распределении ориентации она может наблюдаться.

В отсутствии знания структуры ядер атомов и процессов циклических колебаний атринов в них можно выдвигать гипотезы о возможной природе физических явлений у ферромагнетиков, которых может быть много. Дадим качественную интерпретацию явлениям ферромагнетизма на базе атрисных открытий.

У ферромагнетиков магнитное поле синтезируют три электрона, которые выведены из протонов ядер атомов и синтезировали устойчивую частицу – *ратсвир*.

Ратсвир – устойчивая частица, синтезируемая из трех электронов, которые продолжают устойчивую связь с полюсом ядра атома и могут вращаться, принимая любое положение под действием внешнего магнитного поля. Рассмотрим зависимость атомной теплоемкости железа от температуры.

Биртроны двух электронов ратсвира, расположенные в одной плоскости параллельно, устанавливают силовую связь атраусами между собой, а биртрон третьего электрона разворачивается в плоскости биртронов относительно оси двух первых электронов на угол 90^0 . Затем плоскость третьего биртрона разворачивается еще раз на угол 90^0 относительно плоскости биртронов первых двух электронов.

У каждого из трех электронов ратсвира имеется атрин с избыточной энергией, поэтому все три электрона синтезируют стандартные цуги магнитных пострино, как и у электронов тока. Схематический вид одного ратсвира показан на рис. 9.

Между биртронами спаренных электронов установлена силовая связь при помощи атраусов. Ратсвир может совершать вращение вокруг полюса только в плоскости билтонов. При увеличении энтальпии атомов вещества железа, происходит рост энергии внутренних атринов спанов ядер атомов. При увеличении энергии наружных атринов спана, возрастает температура ядер атомов, что приводит к диссоциации ратсвиров, и валентные электроны ядра атома располагаются в плоскостях своих протонов.

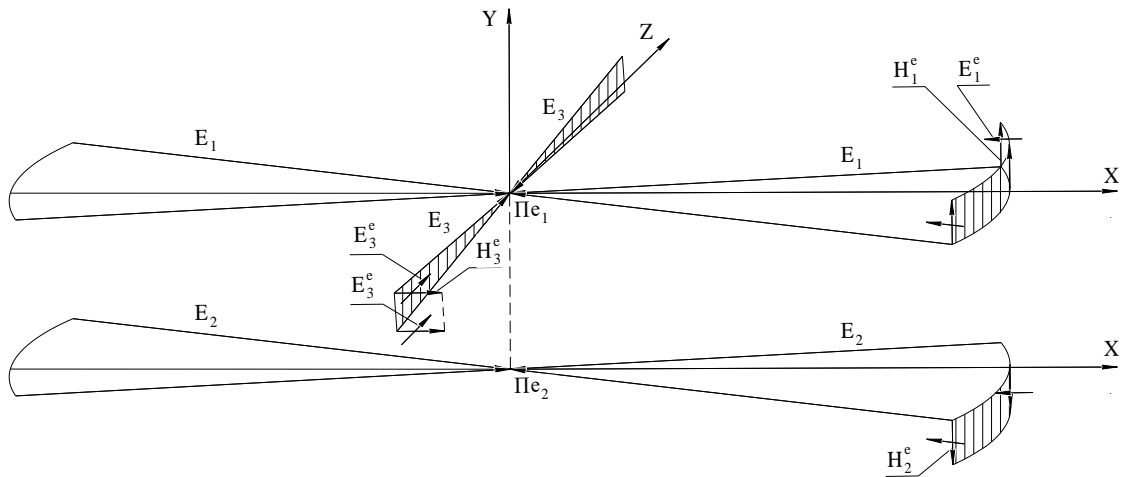


Рис. 9. Ратсвир разделен на две неравные части.

Экспериментально установлено, что при нуле градусов Кельвина магнитное насыщение J_s имеет наибольшее значение и монотонно стремится к нулю при $T - \Theta_\phi$ (рис. 13). Теплоемкость увеличивается от нуля градусов Кельвина, имея две точки перегиба в области температур 250К, 900К, излом в точке Кюри и перегиб в районе 1080К (рис. 13).

Согласно интернет-ресурсу, *точка Кюри, или температура Кюри*, — температура фазового перехода II рода, связанного со скачкообразным изменением свойств симметрии вещества (например, магнитной — в ферромагнетиках, электрической — в сегнетоэлектриках, кристаллохимической — в упорядоченных сплавах).

Точка Нееля — антиферромагнитная точка Кюри, температура, выше которой антиферромагнетик теряет свои специфические магнитные свойства и превращается в парамагнетик (фазовый переход II рода). Вблизи этой температуры достигают максимального значения аномалии немагнитных свойств антиферромагнетиков (теплоёмкости, коэффициент теплового расширения, температурного коэффициента электропроводности и т. д.). Названа по имени Луи Нееля (интернет-ресурс).

Природа ферромагнетизма

Все атомы представляют собой пакеты нуклонов, состоящих из дисков пульседов, расположенных параллельно и имеющих одну общую точку – полюс (рис. 10). Каждый нуклон ядра атома создает спин, равный 0,5. У каждого протона ядра атома имеется собственный электрон, серии которого располагаются параллельно дискам пульседа, и сканирует его поверхность. В результате этого происходит торможение диска пульседа. Спин, создаваемый пульседом, уменьшается. Для сохранения величины спина пульседа протона, внутренние атрины пульседа сбрасывают энергию. Величина спина пульседа протона восстанавливается. Атрины электрона не могут сбрасывать энергию, а потому уменьшается их вращательная скорость сканирования.

В сложных ядрах атомов в пакете нейтронов идет чередование: два пульседа нейтрона, два пульседа протона. Спины, создаваемые смежными протонами, направлены навстречу друг другу, и результирующий спин всегда равен нулю. Снижение температуры ядер атомов приводит к сжатию дисков нуклонов, что равноценно уменьшению величины спина, создаваемого вращающимся диском пульседа вследствие его торможения биртроном электрона.

Достигается такая величина ядра атома, когда сброс энергии невозможен ни с внутренних атринов пульседа, ни с внутренних атринов спанов. Однако, температура продолжает уменьшаться. Для сохранения единства ядра атома, 3 протона его ядра выделяют 3 электрона, которые прекращают сканировать поверхности пульседов. Электроны сохраняют положение собственных полюсов в полюсе ядра атома. Два смежных электрона пульседов устанавливают силовую связь между биртронами, и создают единую систему. Результирующий спин, создаваемый этими смежными электронами, равен нулю.

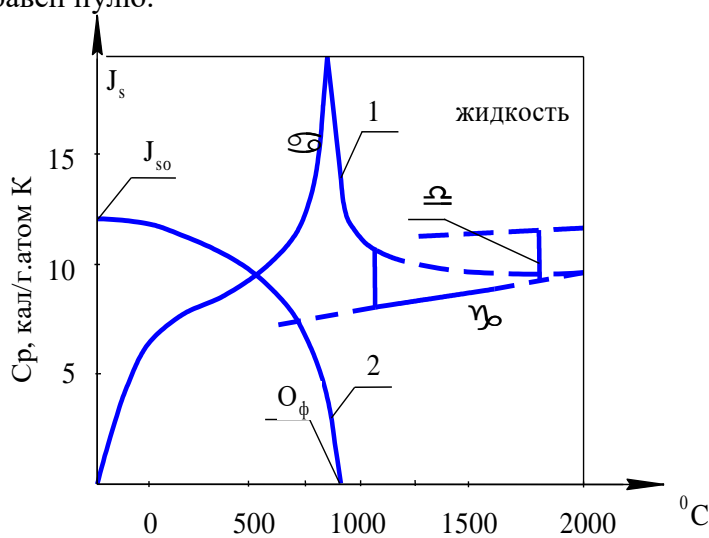


Рис. 10. Зависимость атомной теплоемкости железа от температуры (линия 1) и схематический ход температурной зависимости магнитного насыщения J_s (Т) ферромагнетика (линия 2). (Θ_ϕ - точка Кюри).

Третий электрон, который также расположен в плоскости первых двух электронов, получает свободу, его плоскость биртрона разворачивается на 180° . Для сохранения отличия между электронами ядра атома и выведенными из общего диска нуклонов, у каждого электрона одна из производных вистр биртрона увеличивает количество векторов адрат в собственных сериях. Энергия атринов электронов увеличивается. Каждый новый полупериод циклических колебаний электроны начинают синтезировать магнитные построино. Спаренные электроны направляют магнитные построино в диаметрально противоположные стороны. Третий электрон направляет магнитные построино в перпендикулярном направлении к первым двум.

Повышение температуры среды приводит к увеличению энергии наружных атринов спанов, и когда их величина достигает определенной величины, идет перераспределение энергии между наружными и внутренними атринами спанов. На кривой зависимости атомной теплоемкости от температуры (рис. 10) мы видим первый излом кривой теплоемкости. В результате перераспределения энергии между внутренними и наружными атринами спана *уменьшается* рост теплоемкости среды. Дальнейшее повышение температуры приводит к тому, что энергии, получаемой ядром атома, становится достаточно для возврата электронов ратсвира на собственные места в пульседах. Теплоемкость возрастает (рис. 10). При достижении температуры, равной точке Кюри, или точки Нееля, все электроны ратсвира возвращаются к своим протонам. Теплоемкость резко *увеличивается*. Точка Кюри для ферромагнетиков и точка Нееля для антиферромагнетиков соответствует полному распаду ратсвира.

Фантазии ученых о антиферромагнетизме не соответствуют действительности. Антиферромагнетизма в природе не существует, есть тупое отсутствие понимания реальности.

4. ПРОЦЕССЫ В ФЕРРОМАГНЕТИКЕ

Электроны ратсвира представляют собой консервативную систему, в которой совершаются стабильные циклические колебания серий атринов независимо от внешних воздействий (рис. 11, а). У каждого электрона ратсвира имеется атрин с избыточной энергией, в результате чего все электроны синтезируют магнитные цуги пострино H_n^e (рис. 11, а). Рассмотрим процессы, происходящие в ратсвире, если на него действует стороннее магнитное поле. Пусть магнитное пострино H_3^e электрона E_3 ратсвира вступило в силовую связь с магнитным цугом стороннего пострино H_c (рис. 11, б). Уже при подходе стороннего пострино H_c к трансформируемому H_3^e , ратсвир получает голограмму о наличии энергии цуга пострино. И эта информация передается остальным электронам $E_{1,2}$, трансформирующим собственные магнитные пострино.

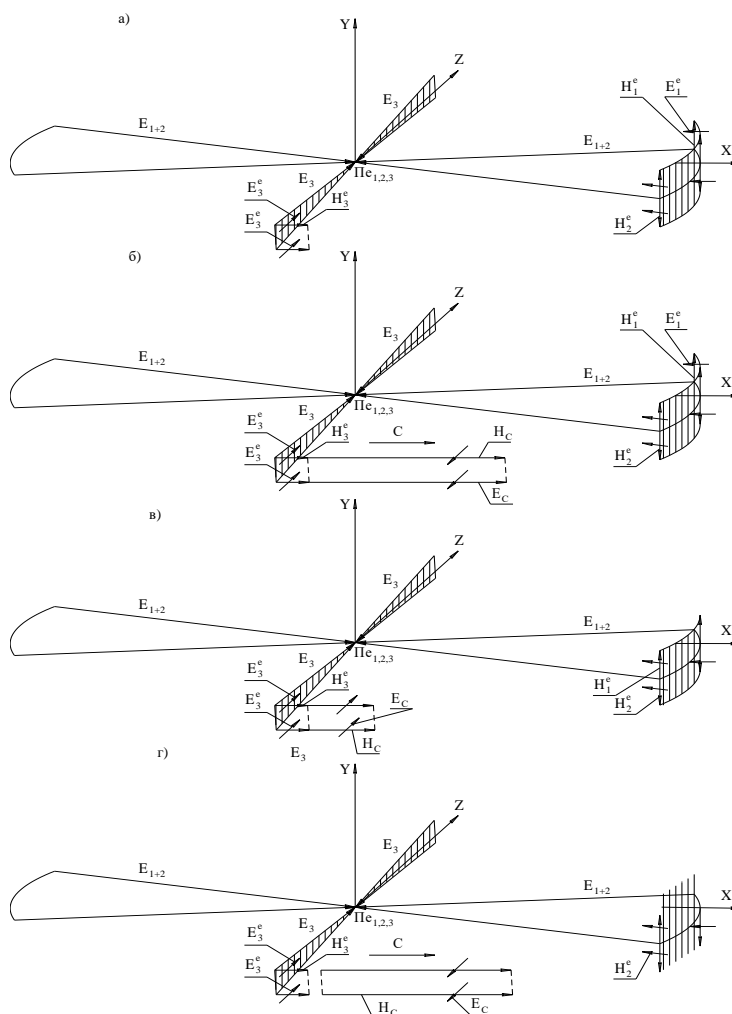


Рис. 11. Действие стороннего магнитного поля на ратсвир.

изменилось на 180° (рис. 12, а). Магнитный цуг стороннего пострино проходит мимо трансформируемого ратсвиром магнитного пострино H_3^e . В это время начинают разворачиваться на 180° электроны ратсвира около осей X (рис. 12, б). Показать процесс поворота плоскостей биртронов электронов ратсвира в реальном времени невозможно, но можно показать его поэтапно.

Вдоль оси X плоскости спаренных биртронов электронов ратсвира поворачиваются на 180° цугами магнитного пострино, вектора серий квантонов располагаются так, что стороннее магнитное пострино вступает в силовую связь с магнитным полем электрона E_3 .

5. ДЕЙСТВИЕ СТОРОННЕГО МАГНИТНОГО ПОЛЯ НА МАГНИТНЫЙ ДИПОЛЬНЫЙ МОМЕНТ АТОМА

Трансформируемые электрические серии синтезируемых вистр в магнитные будущие гравитоны устанавливаются перпендикулярно плоскостей пульсэдов в началах наружных и внутренних атринов. При этом будущие гравитоны наружных атринов направлены в одну сторону, а внутренних – в диаметрально противоположную (рис. 13). Электрические вектора магнитных серий будущих гравитонов устанавливаются перпендикулярно к поверхности гравитонов и не меняют свою ориентацию.

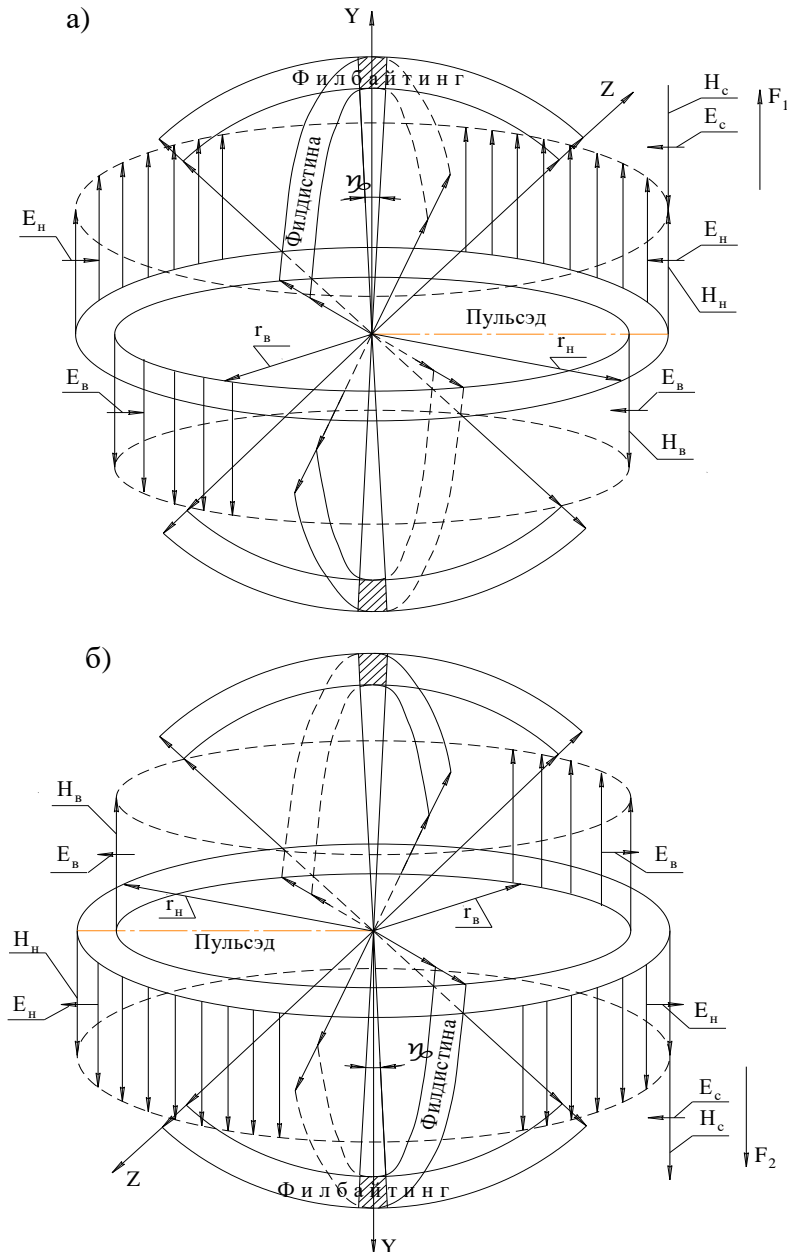


Рис. 13. Схематическое представление эффекта Штерна-Герлаха в соответствии с Атрисной физикой:
 а) E_c и E_n направления совпадают, а H_c и H_n направлены навстречу друг другу; F_1 поднимает атомы вверх; б) H_c и H_n направления совпадают, а E_c и E_n направлены навстречу друг другу; F_2 отклоняет атомы этого сорта вниз.

Электрические вектора квантонов всех будущих гравитонов у каждого атома имеют одинаковую ориентацию. Особенность заключается в том, что у одной половины атомов таблицы элементов электрические вектора квантонов будущих гравитонов направлены к полюсам ядер атомов, а во второй – в диаметрально противоположную сторону.

В опыте Штерна-Герлаха одна половина атомов должна отклоняться в одну (сила F_1 , рис. 13, а), а вторая половина – в диаметрально противоположную (сила F_2 , рис. 13, б) сторону.

Неоднородное магнитное поле в опытах Штерна-Герлаха позволило увеличить время пребывания пучка атомов под действием магнитных полей.

ВЫВОДЫ

Электрические вектора квантонов трансформируемых магнитных серий у будущих гравитонов у одной половины атомов таблицы элементов направлены к полюсу атома, а у второй – от полюса. Поэтому поперечное стороннее поле разделяет пучок атомов на два пучка.

ЛИТЕРАТУРА

1. Поляков С.П. «Атрисное строение материи», М.: Международный гуманитарный фонд «Знание».-1999, Т.1., 183 с. илл.
2. Поляков С.П. Атрисна фізика електрона: Частина 1.- Черкаси: ЧДТУ. 2006.- 55 с., іл.
3. Поляков С.П. Атрисная структура кристаллов, М.: Информ-Знание, 2007.-191с., илл.
4. Сайт: atrisov.narod.ru, razum-cosmos.narod.ru.

Доктор технических наук, профессор *Поляков Святослав Петрович*

18002, г. Черкассы, бульв. Шевченко, 245, кв.5, дом. тел. (8-1038-0472) 54-22-87

E-mail: atrisov@yandex.ru

ТЕРМИНЫ

Андистина – набор рейкисов, являющихся продолжением наружных серий вистр филдистины. Угол раскрытия серий атдистины может меняться от 90^0 -до 45^0 .

Андистон – это фигура, состоящая из андистрона и андистины, плоскости которых взаимно перпендикулярны, а общая ось симметрии проходит через полюс пульсэда перпендикулярно его поверхности.

Атрин - частица (фотон), являющаяся физической основой всех нуклонов ядер атомов, электронов, позитронов и нейтрино. Атрин состоит из набора серий, энергия которых находится в пределах половины энергии физической основы электрона. Атрины нуклонов атомов совершают ритмическое перемещение серий по замкнутым траекториям около общего полюса. Серии атрина выходят из полюса, создавая крайними сериями угол равный $12^{\circ}00'$.

Биртрон – стационарная неразрушаемая часть электрона, обеспечивающая управление движением атринов по замкнутым траекториям, проходящих через их полюс. Биртрон состоит из дивитры и дивитриса, каждый из которых состоит из двух вистр.

Пульсэд - физическая основа нейтрона (всех нуклонов ядер атомов), имеющая вид диска, который состоит у нейтрона из 3600 атринов, расположенных в одной плоскости и имеющих один общий полюс. Пульсэд состоит из 1800 ниртонов, которые образуют 900 квадронов.

Ратсвир - самостоятельная неотъемлемая часть атомов ферромагнетиков, состоящая из трех электронов, два из которых спарены и установили силовую связь между своими биртронами. Третий электрон подсоединен к ним в полюсе, а его плоскость атринов расположена перпендикулярно к плоскости спаренных электронов. У каждого электрона ратсвира имеется атрин с избыточной энергией.

Спан - это два, четыре или восемь квадронов пульсэда, выведенные через полюс нейтрона в плоскость филбайтинга. Дивистры филбайтинга управляют колебаниями серии спана. У водорода и дейтерия спан состоит из двух квадронов, у трития и гелия три – из четырех квадронов, а у всех

остальных атомов таблицы элементов – из восьми квадронов. Спин и магнитный момент, создаваемые сериями атринов спана, взаимнокомпенсированы, т.е. равны нулю. Избыточная энергия наружных серий спана определяет температуру атома.

Филбайтинг - составная частичка протона, обладающая энергией, равной половине энергии яритиса, а по форме имеет вид восьмерки, вырезанной из яритиса взаимно перпендикулярными диаметрами. Филбайтинг состоит из 900 дивистр, имеет общий полюс с протоном и его ось симметрии располагается перпендикулярно поверхности яритиса. Филбайтинг управляет спаном ядра, который располагается в его плоскости. Каждый атом синтезирует только один филбайтинг и одну филдистину, плоскости которых располагаются взаимно перпендикулярно.

Яритис – система управления перемещениями серий атринов пульсэда по замкнутым траекториям, которая состоит из 3600 вистр, объединенных попарно в бивистры, а бивистры объединены попарно в дивистры. Яритис, состоящий из коренных вистр, представляет собой диск, серии которого направлены от полюса, колеблются в противофазе и устанавливают силовую связь между собой. Толщина серий яритиса порядка 10^{-66} м. Яритис синтезирует серии, которые направлены в диаметрально противоположном направлении сериям яритиса, создавая параллельный диск – *ладу*.